

Análise da Influência da Incerteza do Tempo de Chegada no Desempenho de Sistemas Ópticos Baseados em Solitões

Armando Nolasco Pinto (anp@ua.pt), J. Ferreira da Rocha (frocha@ua.pt)

Departamento de Electrónica e Telecomunicações, Universidade de Aveiro, 3810 Aveiro, Portugal

Resumo

Neste trabalho estudamos o problema da incerteza do tempo de chegada dos impulsos ópticos em sistemas de comunicação baseados em solitões. Apresentamos as origens físicas que levam à incerteza do tempo de chegada. Estudamos o efeito da interação entre solitões e o do ruído de emissão espontânea no tempo de chegada dos impulsos. Derivamos uma expressão analítica para a função densidade de probabilidade do tempo de chegada tendo em consideração a interação entre solitões e o ruído de emissão espontânea. Comparamos os resultados analíticos com resultados da simulação numérica de três sistemas a operarem a 10, 20 e 40 Gbit/s.

I. Interação entre solitões

Devido aos efeitos não lineares os solitões ópticos ao propagarem-se interagem entre si. No caso de dois solitões o problema reduz-se ao seguinte sistema de equações diferenciais acopladas:

$$\frac{\partial^2 q}{\partial \zeta^2} = -4 \exp(-2q) \cos(2\psi), \quad (1)$$

$$\frac{\partial^2 \psi}{\partial \zeta^2} = 4 \exp(-2q) \sin(2\psi); \quad (2)$$

em que q é a separação temporal entre os solitões, ψ é a diferença de fase e ζ é a distancia de propagação.

Mostrámos em [1] que no caso de três solitões podemos reduzir o sistema de equações a (3) e (4):

$$\frac{\partial^2 q}{\partial \zeta^2} = -2\eta \exp(-q) \cos(2\psi), \quad (3)$$

$$\frac{\partial^2 \psi}{\partial \zeta^2} = 2\eta \exp(-q) \sin(2\psi); \quad (4)$$

onde a constante η está relacionado com a separação inicial normalizada entre solitões adjacentes, pela expressão $\eta=2\exp(-q_0)$.

Resolvidas as equações (1), (2), (3) e (4), para o caso de solitões em fase, obtemos a expressão (5) e (6) para a dinâmica de dois e três solitões respectivamente.

$$q = q_0 + \ln[\cos(\eta\zeta)], \quad (5)$$

$$q = q_0 + \ln\left[\cos^2\left(\frac{1}{\sqrt{2}}\eta\zeta\right)\right]. \quad (6)$$

Na Fig. 1 mostramos a equação (5) e (6) e o resultado da simulação numérica da interação entre dois e três solitões respectivamente.

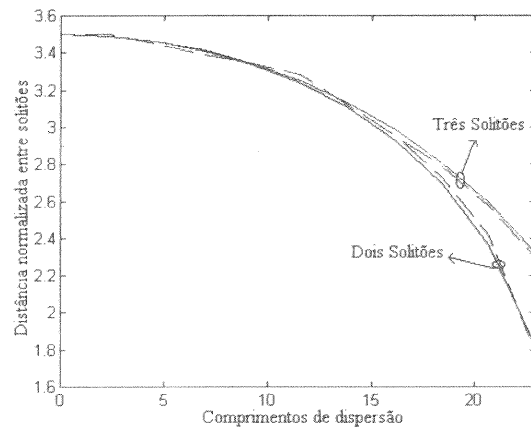


Fig. 1 Distância normalizada entre solitões, as linhas a cheio são os resultados analíticos a tracejado são apresentados os resultados numéricos.

Notemos que a interação entre solitões é mais intensa no caso de dois solitões do que no caso de três solitões, isto deve-se ao balanço de forças que existe no caso de três solitões. Devido à simetria do sistema de três solitões o solitão central permanece fixo durante a propagação.

De modo a generalizar o nosso resultado para uma sequência aleatória de solitões notemos que no caso de quatro solitões, Fig. 2, os solitões centrais B e C estão praticamente fixos devido ao balanço de forças e os solitões A e D comportam-se de forma similar aos solitões externos no caso de três solitões [1].

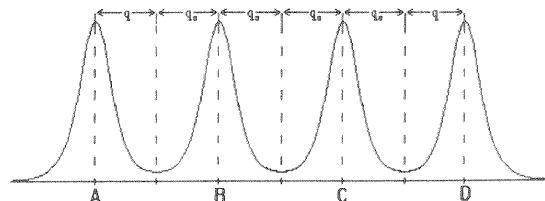


Fig. 2 Sequência com quatro solitões

Este estudo foi financiado no âmbito do programa PRAXIS XXI.

Numa longa sequência de solitões o primeiro e o último são aqueles que sofrem uma maior força de interacção, pois as forças de interacção exercidas em todos os outros anulam-se mutuamente.

Num sistema de comunicação prático a sequência de impulsos transmitida é aleatória, contendo longas sequências de impulsos, pares de impulsos e também impulsos isolados. De modo a analisar o efeito das forças de interacção numa longa sequência de impulsos podemos subdividir a sequência reduzindo-a aos casos anteriores.

Se considerarmos uma sequência aleatória e infinita podemos demonstrar que 50% dos solitões não sofrem nenhum desvio devido às forças de interacção; 25% deles sofrem um desvio dado pela expressão (5), destes 25% metade sofrem um atraso e metade sofrem um avanço; os restantes 25% sofrem um desvio dado por (6) sofrendo metade um avanço e os restantes um atraso. Obtemos então a seguinte função densidade de probabilidade para o tempo de chegada devido apenas às forças de interacção entre solitões:

$$p(t) = \frac{1}{2} \delta(t) + \frac{1}{8} \delta(t - t_2) + \frac{1}{8} \delta(t + t_2) + \frac{1}{8} \delta(t - t_3) + \frac{1}{8} \delta(t + t_3) \quad (7)$$

Onde os valores de t_2 e t_3 são dados por:

$$t_2 = T_0 \ln \left[\cos \left(\frac{\eta}{L_D} z \right) \right], \quad (8)$$

$$t_3 = T_0 \ln \left[\cos^2 \left(\frac{\eta}{\sqrt{2} L_D} z \right) \right]; \quad (9)$$

onde T_0 é a largura do impulso e L_D o comprimento de dispersão.

De modo a validarmos o nosso resultado simulamos um sistema a 10 Gbit/s com um espaçamento inicial de $q_0=4.4$, e obtivemos a seguinte função densidade de probabilidade:

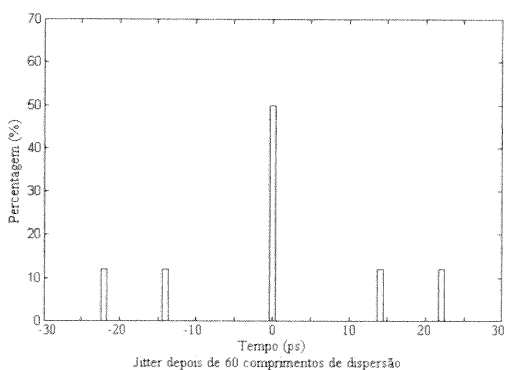


Fig. 3 Tempo de chegada de uma sequência aleatória de solitões. Podemos usar as expressões (7) para determinar a função densidade de probabilidade.

II. Ruído de Emissão Exponencial

De modo a compensar a atenuação da fibra e a manter os solitões durante a propagação, os impulsos têm que ser periodicamente amplificados. O ruído de emissão exponencial aparece como um produto inevitável da amplificação óptica. A propagação do ruído e do sinal num meio não linear introduz jitter no sistema.

Em [2], Gordon e Haus demonstraram que a função densidade de probabilidade devido ao ruído de emissão exponencial é Gaussiana com um desvio padrão proporcional ao cubo da distância e dado por:

$$\sigma = \left[\frac{n_{sp} n_2 D h (G-1) L^3}{9 T_0 A_{eff} L_{amp} Q} \right]^{1/2}, \quad (10)$$

onde n_{sp} é o factor de emissão exponencial, n_2 é o parâmetro não linear da fibra, D é a dispersão cromática, h é a constante de Planck, G é o ganho dos amplificadores, L é o comprimento total da ligação, T_0 é a largura dos impulsos, A_{eff} é a área efectiva da fibra, L_{amp} é o espaçamento entre amplificadores e Q é o factor de aumento da potência óptica.

A expressão (10) é válida para a propagação de um solitão isolado. No caso de termos uma sequência de impulsos devemos entrar em consideração com o jitter devido ao ruído e devido à interacção entre os impulsos.

Num sistema de baixo ruído e alto débito o ruído pode ser tratado como uma pequena perturbação. Neste caso podemos assumir que a função densidade de probabilidade do jitter pode ser aproximada pela expressão (7), substituindo as funções Dirac por uma distribuição Gaussiana com desvio padrão dado por (10). Obtemos então:

$$p(t) = \frac{1}{2} f_g(t, \sigma) + \frac{1}{8} f_g(t - t_2, \sigma) + \frac{1}{8} f_g(t + t_2, \sigma) + \frac{1}{8} f_g(t - t_3, \sigma) + \frac{1}{8} f_g(t + t_3, \sigma), \quad (11)$$

onde $f_g(t, \sigma)$ é dado por:

$$f_g(t, \sigma) = \frac{1}{\sqrt{2\pi}\sigma} \exp \left[-\frac{t^2}{2\sigma^2} \right], \quad (12)$$

os valores de t_2 e t_3 são determinados respectivamente por (8) e (9), σ é dado por (10).

Na dedução de (11) fizemos as seguintes aproximações: assumimos que a potência do ruído é muito menor que a potência do sinal, provocando apenas uma pequena perturbação na amplitude e fase do solitão. Assumimos também que o ruído e a interacção entre solitões são independentes. De modo a validar o nosso modelo analítico vamos aplica-lo a resultados da simulação de três sistemas reais.

III. Simulação

De modo a validarmos a expressão (11) simulamos três sistemas de alto débito, a operarem respectivamente a 10, 20 e 40 Gbit/s.

Tabela I

	10 Gbit/s	20 Gbit/s	40 Gbit/s
Distância	6 000 km	4 000 km	2 000 km
Amplificadores	300	160	100
Dispersão	1.0 ps/(nm.km)	0.2 ps/(nm.km)	0.1 ps/(nm.km)
Não-Linear	$3.7 \text{ W}^{-1}.\text{km}^{-1}$	$3.7 \text{ W}^{-1}.\text{km}$	$3.7 \text{ W}^{-1}.\text{km}$
Atenuação	0.2 dB/km	0.2 dB/km	0.1 dB/km
Largura pulso	11.3 ps	7.5 ps	3.4 ps

Apresentamos nas figuras seguintes a função densidade de probabilidade do jitter de cada um dos sistemas. A linha a cheio é o resultado de Gordon-Haus, as estrelas são o resultado da simulação numérico e o tracejado é o novo modelo analítico.

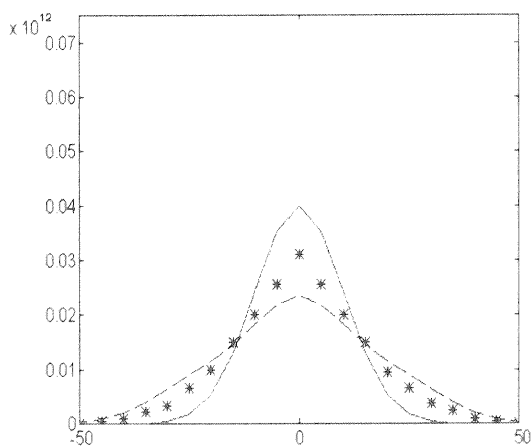


Fig. 4 Sistema a 10 Gbit/s.

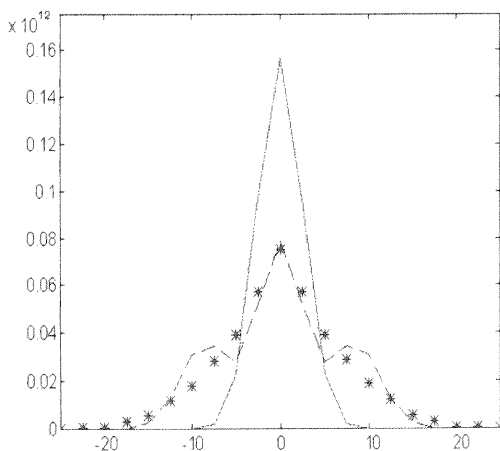


Fig. 5 Sistema a 20 Gbit/s.

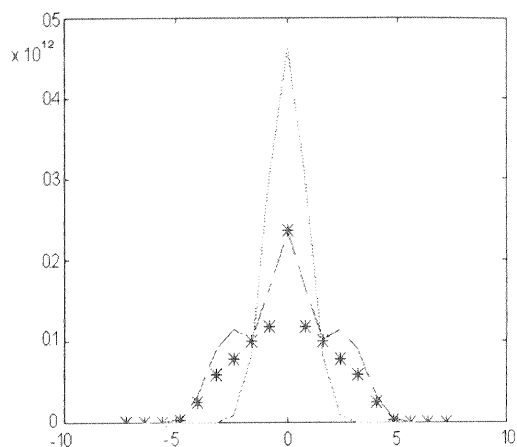


Fig. 6 Sistema a 40 Gbit/s.

VI. Conclusões

Os resultados da simulação numérica mostram que a interacção entre solitões altera a função densidade de probabilidade do jitter num sistema baseado em solitões. A função densidade de probabilidade deixa de ser Gaussiana.

Derivamos um modelo analítico que entra em consideração com o jitter produzido pelo ruído de emissão espontânea e com as forças de interacção numa sequência aleatória de solitões. Segundo o nosso modelo a função densidade de probabilidade pode ser aproximada pela sobreposição de cinco funções Gaussianas descentradas.

Aplicámos o novo modelo para o jitter a três sistemas práticos, a operarem respectivamente a 10, 20 e 40 Gbit/s, obtivemos uma boa aproximação entre o novo modelo analítico proposto e os resultados da simulação numérica.

Referências

- [1] A. Nolasco Pinto, J. Ferreira da Rocha, "Timing jitter statistics due to soliton interaction and Gordon-Haus effect", in *Broadband Superhighway - NOC'96*, Heidelberg, Alemanha, Junho 96, pp. 304-311.
- [2] J. P. Gordon, and H. A. Haus, "Random walk of coherently amplified solitons in optical fiber transmission", *Optics Letters*, Vol. 11, No. 10, pp 665-667, 1986
- [3] A. Nolasco Pinto, Govind P. Agrawal, J. Ferreira da Rocha, "Analytical and numerical study of timing jitter in soliton communication systems", in *1996 OSA Annual Meeting*, Rochester, EUA, Outubro 96, pp. 131.
- [4] J. R. F. da Rocha, L. B. Ribeiro, A. N. Pinto, "Semi-analytical method for performance analysis of soliton systems", in *CLEO/Pacific'95*, Chiba, Japão, Julho 95, pp. 43-44.